

ریزپوشانی ویتامین D با استفاده از موسیلاز شاهی و ایزوله پروتئین سویا به روش توده‌سازی مرکب

نفیسه جان‌شاری^۱، میلاد فتحی^{۲*}، سیدجمال مشتاقیان^۳، علیرضا عباس‌پور راد^۴

۱- دانش آموخته کارشناسی ارشد، گروه مهندسی علوم و صنایع غذایی، دانشکده کشاورزی، دانشگاه صنعتی اصفهان، اصفهان، ایران

۲- دانشیار، گروه مهندسی علوم و صنایع غذایی، دانشکده کشاورزی، دانشگاه صنعتی اصفهان، اصفهان، ایران

* نویسنده مسئول (mfathi@cc.iut.ac.ir)

۳- دانشیار، گروه زیست‌شناسی، دانشکده علوم، دانشگاه اصفهان، ایران

۴- استادیار، گروه علوم و صنایع غذایی، دانشکده کشاورزی و علوم زیستی، دانشگاه کورنل، نیویورک، آمریکا

تاریخ دریافت: ۱۳۹۷/۰۸/۲۸

تاریخ پذیرش: ۱۳۹۷/۱۱/۱۱

واژه‌های کلیدی

ایزوله پروتئین سویا

ریزپوشانی

موسیلاز شاهی

ویتامین D

ویتامین D نقش مهمی در حفظ سلامتی و عملکرد اندام‌های بدن انسان دارد. مطالعه‌های متعددی بر نقش آن در پیشگیری از بیماری‌هایی نظیر بیماری‌های قلبی، سیستم ایمنی، اسکلتی و بیماری‌هایی عفونی تأکید نموده‌اند. در این پژوهش فرایند ریزپوشانی ویتامین D به روش توده‌ای شدن با استفاده از موسیلاز شاهی به عنوان یک هیدروکلوریک جدید و ایزوله پروتئین سویا بررسی و اثراً نسبت هسته به پوسته و نسبت پروتئین به پلی‌ساقارید ارزیابی گردید. نتایج بدست آمده در این تحقیق نشان داد هر دو پارامتر موردنظری اثر معنی‌داری بر راندمان و بارگذاری ریزپوشانی داشتند ($P<0.05$). استفاده از نسبت هسته به پوسته و نسبت پروتئین به پلی‌ساقارید $0/3$ منجر به تولید میکروکپسول‌ها با بهترین ویژگی‌های کاربردی گردید. راندمان ریزپوشانی و بارگذاری به ترتیب در دامنه $20-90$ درصد بود. براساس تصاویر میکروسکوپ الکترونی این میکروکپسول‌ها تقریباً کروی و دارای سطح ناهمواری بودند. متوسط اندازه ذرات $57/2\pm1/2$ میکرومتر بود. آنالیز طیفسنجی تبدیل فوریه مادون قرمز نشان‌دهنده شکل‌گیری اتصالات الکترواستاتیکی بر اثر واکنش توده‌ای شدن بین گروه کربوکسیل موسیلاز شاهی و گروه آمین ایزوله پروتئین سویا بود. نتایج این تحقیق می‌بین امکان استفاده از دو بیopolymer موسیلاز دانه شاهی و پروتئین سویا برای ریزپوشانی ترکیبات آب‌گریز مانند ویتامین D بود.

معمولًا به دو شکل D_2 (ارگوکلسی‌فرول^۱) و D_3 (کولی‌کلسی‌فرول^۲) وجود دارد. ویتامین D_2 با تابش اشعه ماوراء بنفش از ارگوکلسی‌فرول^۳ گیاهان و ویتامین D_3 در پوست انسان سنتز می‌شود. این ویتامین جذب روده‌ای کلسیم و تشکیل طبیعی استخوان را افزایش می‌دهد

مقدمه

ویتامین D به عنوان یک ویتامین محلول در چربی نقش مهمی در سلامت استخوان‌ها دارد. در نوزادان کمبود ویتامین D منجر به نرمی استخوان شده و از سوی دیگر مصرف بیش از حد این ویتامین خطر ابتلاء هایپرکلسیمی و مشکلات کلیوی را افزایش می‌دهد (Verkaik- Kloosterman, Seves, & Ocké, 2017). این ویتامین

¹ Ergocalciferol

² Cholecalciferol

³ Ergosterol

مخالف مخلوط شوند دو فاز محلول و توده‌ای شکل می‌گیرد. فاز توده‌ای، محلول پلیمر غلیظ شده است که در فرایند ریزپوشانی شرکت می‌کند و فازروبی، محلولی رقیق است و به عنوان محیطی که در آن کپسول‌ها تشکیل می‌شوند، ایفای نقش می‌کند (Thies, 2007).

Chitprasert و Sutaphanit (۲۰۱۴) از توده‌سازی ژلاتین، جهت ریزپوشانی انسانس روغنی ریحان استفاده کردند. آنها نشان دادند در صورتی که میزان ژلاتین استفاده شده به عنوان دیواره کپسول از ۴ درصد (وزنی/حجمی) کمتر باشد علاوه بر کاهش مقدار میکروکپسول تولیدی، راندمان ریزپوشانی نیز کاهش می‌یابد. همچنین کاربرد بیش از ۱۶ درصد (وزنی/حجمی) ژلاتین، محلولی با ویسکوزیتۀ زیاد ایجاد می‌کند که ویسکوزیتۀ زیاد آن باعث ایجاد اختلال در مهاجرت مواد کپسوله کننده به سطح قطره‌های روغن می‌شود (Sutaphanit & Chitprasert, 2014).

Fathi, Kiani و Ghasemi (۲۰۱۷) ویتامین D را با استفاده از نانوحامل‌های لیپیدی ریزپوشانی کرده و برای Kavousi غنی‌سازی شیر مورد استفاده قرار دادند (Fathi, & Goli, 2017).

Fathi و Fahami (۲۰۱۸) به منظور تولید نانوالیاف حاوی ویتامین A از موسیلاژ شاهی و پلی‌وینیل الکل استفاده کردند. آنها گزارش کردند نانوالیاف تولید شده دارای مقاومت حرارتی بیشتری نسبت به هریک از ترکیبات دیواره بوده لذا به طور مؤثری ویتامین را در Fahami برابر فرایندهای حرارتی محافظت می‌کند (Fathi, 2018; Kavousi et al., 2017).

مطالعه‌های پیشین نشان داده است صمغ استخراج شده از دانه‌ها، هیدروکلوفیدهای مطلوبی می‌باشند. این ترکیبات ارزان، غیررسمی، سازگار با محیط‌زیست و غیرآلاینده در طی تولید می‌باشند. بررسی برهم‌کنش موجود بین بیوپلیمرهای پروتئین-پلی‌ساقارید به منظور یافتن کاربرد آنها در صنایع غذایی اهمیت ویژه‌ای دارد. براساس تحقیقاتی انجام شده ذرات پوشیده شده با کمپلکس پروتئین-پلی‌ساقارید در برابر تنفس محیطی پایدارتر از ذرات پوشیده شده با پروتئین به تنها‌یی هستند.

(Park, Garcia, Shin, & Kim, 2017) (محلول در آب و محلول در چربی) می‌توانند با استفاده از فناوری‌های جدید محافظت و کپسوله شوند. هدف از کپسوله کردن این مواد افزایش طول عمر و حفاظت از آنها در برابر شرایط نامناسب نور، اکسیژن و دمای بالا می‌باشد (Gouin, 2004).

سویا یکی از اعضای خانواده حبوبات با درصد پروتئین بالاست. ایجاد طعم‌های نامطلوب، حضور مواد ضدتعذیب‌های و پایین‌بودن محتوای پروتئین آرد سویا، لزوم تولید محصولاتی همچون کنسانتره و ایزوله پروتئین سویا که میزان پروتئین بالاتر و ویژگی‌های عملکردی بهتری دارند را نمایان می‌کند. خالص‌ترین شکل پروتئین سویا، ایزوله پروتئین سویا بوده که عبارت است از فراکسیون اصلی پروتئین سویا که پس از حذف اجزای غیرپروتئینی تولید می‌شود. ایزوله پروتئین سویا به شکل پودری، گرانولی و رشته‌ای وجود دارد و Reuter, Hornstein, Mönting, & Schempp, 2007 دارای حداقل ۹۰ درصد پروتئین می‌باشد (Jocher,

موسیلاژ‌های گیاهی منابع بالارزشی از کربوهیدرات‌های قابل استفاده در فراوری مواد غذایی هستند که به راحتی در دسترس بوده و قیمت مناسبی دارند. گیاه شاهی با نام علمی لیپیدیوم ساتیوم^۱ از خانواده شب‌بویان و گیاهی علفی است. دانه‌های شاهی بعد از خیساندن و جذب آب، لایه موسیلاژی شفاف و چسبناکی تولید می‌کند. این لایه موسیلاژی به دلیل حضور گروه‌های عاملی کربوکسیل و هیدروکسیل و نیز حضور دو اسید ارونیک گالاكتورونیک و گلوکورونیک (مجموعاً ۱۵ درصد) دارای ماهیت پلی‌الکترولیت است (Karazhiyan et al., 2009).

توده‌ای شدن^۲ که به آن جداسازی فازی هم گفته می‌شود در سال ۱۹۵۲ توسط شرکت ملی کش رجیستر در آمریکا توسعه یافت و به عنوان یک تکنیک مهم ریزپوشانی توسط بسیاری از محققین در نظر گرفته شده است. در این فرایند هنگامی که دو یا تعداد بیشتری از ترکیبات دارای طبیعت پلی‌الکترولیت با بار

¹ *Lepidium sativum*

² Coacervation

اضافی از صافی پارچه‌ای عبور داده شد. سپس طی دو روز در آون فن‌دار در دمای ۶۰ درجه سانتی‌گراد خشک گردید (Karazhiyan *et al.*, 2009).

تولید میکروکپسول

میکروکپسول‌ها به روش توده‌سازی مرکب مطابق روش Kavousi و همکاران (2017) تولید شدند. برای این منظور یک دیسپرسیون روغنی (روغن آفتاب‌گردان) ویتامین D (۱۰ درصد ویتامین D) به محلول آبی ۳ درصد ایزوله پروتئین سویا در دمای ۲۵ درجه سانتی‌گراد اضافه و در دور ۱۸۰۰۰ دقیقه به مدت ۴ دقیقه هموژن (IKA، ساخت آلمان) شد. pH با محلول سود (NaOH) ۱/۱ M تا ۸ افزایش داده شد و سپس محلول آبی محتوای ۱ درصد صمغ شاهی در دمای ۴۰ درجه سانتی‌گراد اضافه و سیستم به مدت ۱۰ دقیقه همزده شد. pH با محلول اسید کلریدریک (HCl) ۱/۱ M روی ۳/۴ (براساس نقطه ایزوالکتریک پروتئین و انجام پیش‌تست‌ها این pH به عنوان بهترین pH برای تشکیل توده‌ها در نظر گرفته شد) تنظیم گردید و سپس محلول دو فازی حاصل به مدت ۱۵ دقیقه در دمای ۲۵ درجه سانتی‌گراد در ۱۰۰۰۰ دور بر دقیقه سانتریفیوژ شد. پس از سانتریفیوژ فاز توده‌ای تنهشین شده جدا گردید و پس از انجماد در فریزر -۸۰- درجه سانتی‌گراد، توده‌ها توسط خشک کن انجمادی خشک شدند (Kavousi *et al.*, 2017). در این تحقیق اثر دو متغیر نسبت هسته به دیواره (۱:۱۰، ۲:۱۰ و ۳:۱۰) و نسبت پروتئین به پلی‌ساقارید (۱:۱، ۱:۲ و ۱:۳) بررسی شد.

اندازه‌گیری راندمان کارایی و بارگذاری ریزپوشانی
برای اندازه‌گیری کارایی ریزپوشینه کردن ویتامین D در میکروکپسول‌های ایزوله پروتئین سویا و موسیلاز شاهی ابتدا میزان ویتامین ریزپوشینه دارنشده موجود در سطح کپسول‌ها اندازه‌گیری شد. برای این منظور ۱ گرم کپسول‌ها همراه با ۱۵ میلی‌لیتر هگزان به مدت ۲ دقیقه در دمای اتاق با دست مخلوط و پس از عبور از کاغذ صافی به منظور جداسازی فاز روغنی پوشینه دارنشده از سطح میکروکپسول‌ها، بالن حاوی حلال هگزان و

Karazhiyan و همکاران (2009) نشان دادند پلیمر موسیلاز دانه شاهی متشکل از کربوهیدرات با گروه‌های عملکردی کربوکسیل و هیدروکسیل است. حضور دو اسید ارونیک در صمغ (مجموعاً ۱۵ درصد گالاکتورونیک و گلوکورونیک اسید) بیانگر طبیعت پلی‌الکترولیت آن می‌باشد. وزن مولکولی جزء ماکرومولکولی موسیلاز ۵۴۰ کیلودادتون گزارش شد (Karazhiyan *et al.*, 2009).

باتوجه به کمبود ویتامین D و همچنین آفت آن حین فراوری به دلیل حساسیت به نور و حرارت، دستیابی به روش‌های نوین از جمله ریزپوشانی می‌تواند سبب رفع محدودیت‌های ذکرشده گردد. بنابراین هدف از این پژوهش ریزپوشانی ویتامین D به روش توده‌ای شدن مرکب توسط موسیلاز شاهی به عنوان یک هیدروکلرئید بومی جدید و ایزوله پروتئین سویا و همچنین بررسی ویژگی‌های فیزیکوشیمیایی ریزپوشینه‌های تولیدی بود.

مواد و روش‌ها

مواد

دانه شاهی به رنگ قهوه‌ای و عاری از هرگونه ناخالصی از یک عطاری در شهر اصفهان تهیه گردید. ایزوله پروتئین سویا (SPI)، درجه خلوص ۹۰ درصد و رطوبت ۱۵ درصد) و ویتامین D_۳ به ترتیب از شرکت‌های جهان شیمی و داروسازی دانا تهیه شد. سدیم هیدروکسید، اسید کلریدریک و هگزان (شرکت Merck، آلمان) دارای درجه خلوص آزمایشگاهی بودند.

روش‌ها

استخراج صمغ

استخراج صمغ طبق روش Karazhiyan و همکاران (2009) انجام شد. صمغ از دانه کامل و با استفاده از آب مقطر (با نسبت آب به دانه ۱:۳۰) در ۱۰ pH دمای ۳۵ درجه سانتی‌گراد استخراج گردید. آب و دانه با استفاده از همزن به مدت ۱۵ دقیقه مخلوط شدند. سپس با استفاده از دستگاه اکستراکتور دارای صفحه چرخنده صمغ حاصل از دانه جدا و جهت خروج ذرات

دستگاه طیف‌سنجی با وضوح ۴/۰ برو سانتی‌متر در معرض اشعه مادون‌قرمز در محدوده عدد موج ۴۰۰ تا ۴۰۰۰ برو سانتی‌متر قرار گرفتند (Butstraen & Salaün, 2014).

آنالیز آماری

به‌منظور بررسی اثر تیمارها بر خصوصیات میکروکپسول‌های بارگذاری‌شده با ویتامین از آرایش فاکتوریل در قالب طرح کاملاً تصادفی با تعداد دو تکرار استفاده شد. جهت تجزیه آماری داده‌های حاصل از نرم افزار SPSS نسخه ۲۲ و به‌منظور مقایسه میانگین از آزمون حداقل اختلاف معنی‌دار (¹LSD) در سطح اطمینان ۹۵ درصد استفاده گردید.

نتایج و بحث

در این تحقیق دو پارامتر نسبت هسته به دیواره (۰/۱)، (۰/۲) و (۰/۳) و نسبت پروتئین به پلی‌ساقارید (۱، ۰/۵ و ۰/۳) به عنوان متغیر در نظر گرفته شد. میزان pH با توجه به نقطه ایزوالکتریک پروتئین و انجام پیش‌تیمارها برابر ۳/۴ انتخاب شد. برای این‌منظور pH ای که در آن بیشترین میزان توده‌ها تشکیل شود براساس پیش‌تست‌ها در دامنه ۳ تا ۴ بررسی گردید. که بیشترین وزن توده (بیشترین میزان پیوند الکترواستاتیک) در pH=۳/۴ حاصل گردید جدول (۱) شرایط هر تیمار و پاسخ‌های به‌دست‌آمده را نشان می‌دهد. آزمونی که مجموع پاسخ‌های نرمال (به‌منظور نرمالیزه کردن اعداد، هریک از پاسخ‌های به‌دست‌آمده برای یک پارامتر بر بزرگ‌ترین پاسخ به‌دست‌آمده برای همان پارامتر تقسیم شد) آن بزرگ‌تر از سایرین بود. به عنوان بهترین شرایط تولید ریزپوشینه انتخاب شد. با توجه به داده‌ها، آزمون شماره ۹ که در آن نسبت هسته به پوسته و نسبت بیوپلیمرها ۰/۳ است ریزپوشینه‌هایی با بیشترین راندمان و بارگذاری را تولید می‌کند.

ویتامین همراه با آن در دستگاه روتاری تحت خلاً در دمای ۶۰ درجه سانتی‌گراد قرار داده شد. سپس به‌منظور حذف کامل هگزان و رسیدن به وزن ثابت، نمونه در آون با دمای ۵۰ درجه سانتی‌گراد به مدت ۱۵ دقیقه قرار گرفت. پس از تبخير کامل هگزان میزان ویتامین ریزپوشینه‌دارنشده با استفاده از روش وزن‌سنجی محاسبه شد. کارایی و بارگذاری ریزپوشینه‌کردن نیز براساس رابطه‌های (۱) و (۲) (Ifeduba & Akoh, 2016) با فرض ضریب نفوذ برابر ویتامین D و روغن محاسبه گردیدند (Kavousi et al., 2017).

رابطه (۱)

$$\text{رابطه (۱)} \quad \frac{\text{ویتامین سطحی} - \text{ویتامین کل}}{\text{ویتامین کل}} \times 100 = \frac{\text{کارایی ریزپوشانی}}{\text{وزن کل دیواره}}$$

رابطه (۲)

$$\text{رابطه (۲)} \quad \frac{\text{ویتامین سطحی} - \text{ویتامین کل}}{\text{وزن کل دیواره}} \times 100 = \frac{\text{بارگذاری ریزپوشانی}}{\text{وزن کل دیواره}}$$

بررسی مورفولوژی ذرات

جهت تعیین اندازه ذرات و مشاهده شکل ظاهری میکروکپسول‌های ایجادشده از میکروسکوپ الکترونی روبشی (Philips, XL30، ساخت هلند) استفاده شد. مقدار کمی از میکروکپسول‌های تولیدشده روی یک سمت از نوارچسب قرار گرفت و سطح آنها درون محفظه تحت خلاً (Baltech، ساخت آلمان) با اتم‌های طلا پوشانیده شدند و مورفولوژی آنها توسط میکروسکوپ روبشی با ولتاژ شتاب‌دهنده ۲۰ کیلوولت بررسی شد (Peng et al., 2014).

طیف‌سنجی فوریه مادون‌قرمز (FT-IR)

ساختمان شیمیابی و گروه‌های عاملی مواد اولیه و میکروکپسول‌ها به‌وسیله اسپکترومتر مادون‌قرمز (-IR) (مدل Jasco 680 plus، شرکت شیماذرو، ساخت ژاپن) بررسی شد. جهت آماده‌سازی، ویتامین D، ایزوله سویا، موسیلاتر و میکروکپسول‌های تولیدی توسط پتاسیم برومید (نسبت نمونه به پتاسیم برمید: ۱:۱۰۰) با فشار زیاد به صورت قرص تبدیل شدند و توسط

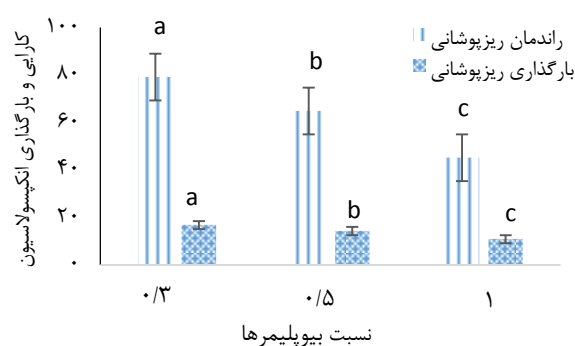
¹ Least Significant Difference

جدول ۱- آزمون های انجام شده به منظور ساخت میکروکپسول ویتامین D ریزپوشینه شده با موسیلاز شاهی- ایزوله پروتئین سویا

نمرال	نرمال	راندمان ریزپوشانی	راندمان نرمال	محصول نرمال	راندمان بارگذاری	راندمان ریزپوشانی	محصول (درصد)	نسبت پروتئین به پلی‌ساکارید	نسبت هسته به دیواره	٪
۱/۰۸۷	۰/۰۷۴	۰/۲۲۲	۰/۷۹۱۱	۲/۳۵±۰/۷۰	۲۰/۶۵±۱/۳۰	۷۸/۰۵±۱/۵۰	۱	۰/۱۰	۱	
۱/۷۸۳	۰/۲۳۳	۰/۵	۰/۹۴۹	۸/۹۵±۰/۱۰	۴۵/۶۰±۱/۲۰	۹۴/۸۰±۰/۴۰	۱	۰/۲۰	۲	
۲/۵۴۲	۰/۷۸۳	۰/۷۸۳	۰/۹۷۵	۲۱/۱۵۷±۰/۸۰	۶۹/۸۰±۱/۴۰	۹۷/۸۳±۱/۳۴	۱	۰/۳۰	۳	
۱/۶۶۶	۰/۱۶۶	۰/۵۰	۱/۰۰	۴/۶۰±۰/۳۰	۴۶/۰۰±۲/۰۰	۹۹/۰۵±۴/۲۰	۰/۵۰	۰/۱۰	۴	
۲/۱۱۴	۰/۴۸۵	۰/۷۲۷	۰/۹۰۱	۱۳/۱۸±۰/۱۶	۶۶/۲۵±۱/۵۰	۸۸/۹۰±۱/۸۰	۰/۵۰	۰/۲۰	۵	
۲/۸۰۶	۰/۹۳۳	۰/۹۳۳	۰/۹۳۹	۲۵/۶۰±۰/۸۰	۸۴/۹۰±۰/۶۰	۹۳/۱۵±۰/۹۰	۰/۵۰	۰/۳۰	۶	
۱/۸۷۳	۰/۲۳۱	۰/۶۹۴	۰/۹۴۷	۶/۵۰±۰/۶۰	۶۲/۹۰±۰/۹۰	۹۵/۳۰±۲/۱۰	۰/۳۰	۰/۱۰	۷	
۲/۵۰۰	۰/۶۲۹	۰/۹۴۴	۰/۹۲۶	۱۷/۴۰±۰/۸۰	۸۵/۵۰±۱/۱۰	۹۱/۱۰±۲/۱۰	۰/۳۰	۰/۲۰	۸	
۲/۸۹۱	۱/۰۰	۱/۰۰	۰/۸۹۱	۲۶/۶۰±۰/۷۰	۹۰/۶۰±۱/۲۰	۸۷/۰۲±۳/۴۰	۰/۳۰	۰/۳۰	۹	

نسبت بیوپلیمرها: نسبت ایزوله پروتئین سویا به موسیلاز شاهی

و صفحه عربی توسط تکنیک توده‌سازی مرکب را بررسی کردند و مشاهده نمودند بهترین نسبت ژلاتین به صفحه عربی برای تولید میکروکپسول‌هایی با بیشترین بارگذاری ویتامین نسبت ۱:۲ است (Junyaprasert *et al.*, 2001).

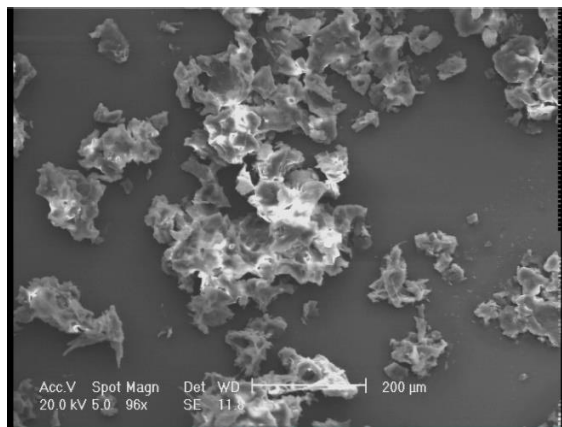


شکل ۱- تأثیر نسبت بیوپلیمرها بر کارایی و بارگذاری ریزپوشانی

نسبت هسته به دیواره تأثیر زیادی بر کارایی و بارگذاری ریزپوشانی دارد. بالاترین بازده ریزپوشانی باید در شرایطی ایجاد شود که میکروکپسول تولیدشده دارای بیشترین پایداری مکانیکی بوده، علاوه بر این هسته به طور کامل توسط دیواره محافظت شود (Weinbreck, Tromp, & de Kruif, 2004). به طور معمول اگر نسبت هسته به دیواره از حد مشخصی بیشتر شود راندمان ریزپوشانی کاهش می‌یابد. زیرا در این صورت با افزایش هسته در محیط فرایند میزان پلیمر دیواره برای ایجاد پوشش در اطراف هسته کافی نبوده و بخشی از هسته به صورت ریزپوشانی نشده در محیط باقی‌مانده و راندمان کاهش می‌یابد. از سوی دیگر زمانی که مقدار هسته در فرمولاسیون

راندمان و بارگذاری ریزپوشانی براساس نتایج حاصل، نسبت هسته به دیواره میکروکپسول، نسبت پروتئین به پلی‌ساکارید و اثر مشترک آنها بر کارایی ریزپوشانی و بارگذاری ویتامین اثر معنی‌داری داشتند ($P<0.05$). فاکتور نسبت بیوپلیمرها شرکت‌کننده در واکنش یکی از پارامترهای اساسی در تشکیل توده‌ها می‌باشد و لذا فرایند توده‌سازی مرکب نیازمند وجود تعادل بین Dubin, Bock, Davis, (Schulz, & Thies, 2012) بیوپلیمرها شرکت‌کننده بر محدوده شکل‌گیری کمپلکس تأثیر دارد و با شرکت‌کننده بیوپلیمری به دلیل تغییر در میزان بارهای ناهمنام موجود، برهم‌کنش بین آنها تحت تأثیر قرار خواهد گرفت. شکل (۱) رابطه بین نسبت بیوپلیمرها را با تغییرات کارایی و بارگذاری ویتامین نشان می‌دهد. با افزایش نسبت ایزوله پروتئین سویا به موسیلاز شاهی از ۰/۳ تا ۱، میزان بارهای مشبت آمین برای برقراری واکنش با بارهای منفی کربوکسیل بیشتر شده و با توجه به زیادتر بودن پتانسیل زتا در ایزوله پروتئین سویا نسبت به موسیلاز شاهی، تعادل بار الکتریکی محیط فرایند بهم خورده و درنتیجه توده‌ای شدن Dragosavac, Giorno Piacentini و Vladislavljević Holdich (2013) طی بررسی ریزپوشانی یک فاز روغنی در توده‌سازی مرکب ژلاتین ماهی و صفحه عربی نشان دادند زمانی که کل بیوپلیمر مورد استفاده به عنوان دیواره از میزان مشخصی بیشتر شود، دیواره‌ای اطراف قطره‌های روغن تشکیل نمی‌شود (Piacentini *et al.*, 2013). Sinchaipanid, Boonme Junyaprasert و Mitrevjej Wurster (2001) ریزپوشانی ویتامین A با استفاده از ژلاتین

شست و شوی ویتامین سطحی تهیه شدند. در تمامی این اشکال میکروکپسول‌ها دارای شکلی نامنظم با سطوح ناصاف بودند. وجود دندانه و سطوح ناهموار در سطح میکروکپسول‌ها را می‌توان به دلیل استفاده از خشک کن انجامدی دانست. حذف ذرات یخ طی تسعید می‌تواند باعث ایجاد حفره‌هایی در سطح ذرات شود (Fonte *et al.*, 2012).

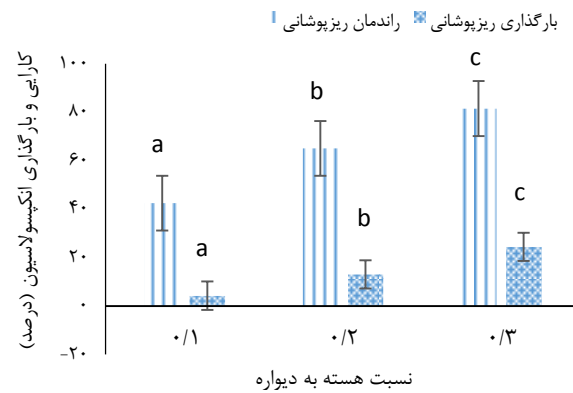


شکل ۳ - تصویر SEM مربوط به میکروکپسول‌های ریزپوشینه شده از ویتامین D

آنالیز طیف‌سنگی فوریه مادون‌قرمز طیف‌های فوریه مادون‌قرمز حاصل از آنالیز میکروکپسول‌های پروتئین سویا-موسیلاز شاهی حاوی ویتامین D، پروتئین سویا، موسیلاز شاهی و ویتامین D در شکل (۴) نشان داده شده است. براساس شکل (۴) طیف موسیلاز شاهی خالص دارای پیک‌های شاخص در عدد موج ۳۴۱۶ و ۱۴۲۰ بر سانتی‌متر می‌باشد که به ترتیب مربوط به ارتعاش‌های کششی گروه کربونیل C=O نامتنازن و متقاض است علاوه‌بر این پیک موجود در عدد موج ۲۹۲۴ بر سانتی‌متر مربوط به ارتعاش‌های کششی گروه H=O است. همچنین وجود پیک‌های مربوط به ارتعاش‌های متقاض و نامتنازن گروه H=C در عدد موج ۱۱۲۸ بر سانتی‌متر از جمله دیگر پیک‌های شاخص و اصلی مربوط به موسیلاز شاهی می‌باشند (Karazhiyan *et al.*, 2009).

خیلی کم باشد بسیاری از کپسول‌های تشکیل شده حاوی مقادیر ویتامین کمی بوده و لذا باز مفید میکروکپسول‌ها کاهش می‌یابد (Maji, Baruah, Dube, & Hussain, 2007).

همان‌طورکه در نمودارهای شکل (۲) مشخص است با افزایش نسبت هسته به دیواره از ۰/۱ تا ۰/۲ کارایی و بارگذاری ریزپوشانی ویتامین در میکروکپسول‌ها افزایش یافت. میکروکپسول‌هایی که میزان کمتری از هسته در آنها بارگذاری شده است، دارای ضخامت دیواره بیشتر و اندازه ذره بزرگ‌تری هستند که باعث حفاظت بهتر هسته Calderón-Oliver, Pedroza-Islas, Escalona-Buendía, Pedraza-Chaverri, & Ponce-Alquicira, 2017.

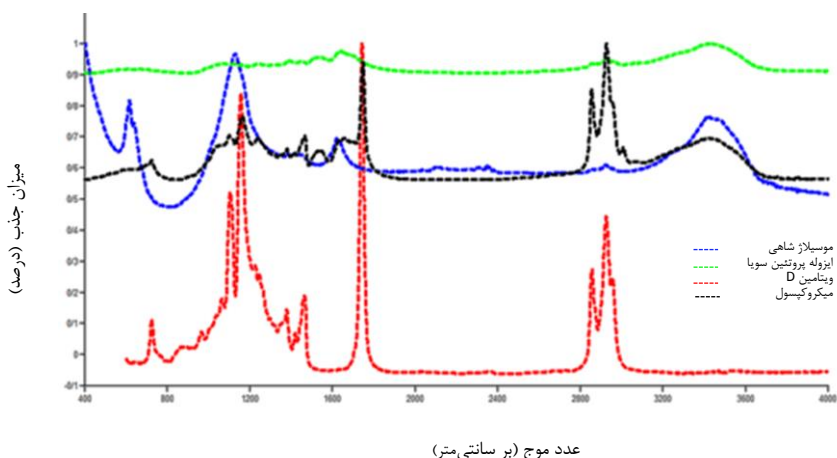


شکل ۲ - تأثیر نسبت هسته به پوسته بر راندمان کارایی و بارگذاری ریزپوشانی

O'Sullivan, O'Riordan, McNamee, Hogan (2001) به منظور ریزپوشانی روغن سویا از سدیم کازئینات استفاده کردند. براساس نتایج آنها با افزایش نسبت هسته به دیواره از ۰/۲۵ به ۳ راندمان ریزپوشانی از ۸۹/۲ به ۱۸/۸۰ درصد کاهش یافت. این محققان بیان کردند کاهش راندمان ریزپوشانی می‌تواند ناشی از حجم زیاد فاز روغنی و افزایش ویسکوزیته باشد (Hogan *et al.*, 2001).

مورفولوژی میکروکپسول‌ها

شکل (۳) تصویر میکروسکوپ الکترونی روبشی (SEM) میکروکپسول‌های تولیدی را نشان می‌دهد. این تصویر پس از خشک و آسیاب کردن ریزپوشینه‌های بهینه، قبل از



شکل ۴- طیف‌های حاصل از آنالیز طیفسنجی تبدیل فوریه مادون قرمز مربوط به موسیلاز شاهی، ایزوله پروتئین سویا، ویتامین D و میکروکپسول موسیلاز شاهی-ایزوله پروتئین سویا ریزپوشینه شده با ویتامین D.

مشخص است. همان‌طور که در طیف مربوط به میکروکپسول مشخص است حضور یک پیک در عدد موج ۲۸۵۳ بر سانتی‌متر که در طیف مربوط به ویتامین D نیز دیده می‌شود دلیلی بر وجود ویتامین در کپسول‌ها و ریزپوشانی این ترکیب می‌باشد.

تغییر در طیف‌های مربوط به ایزوله پروتئین سویا و موسیلاز دانه شاهی و وجود پیک مشترک در ۲۸۵۳ بر سانتی‌متر در نمونه میکروکپسول و ویتامین D، ناشی از شکل‌گیری اتصال‌های الکتروستاتیکی بر اثر واکنش توده‌ای شدن بین گروه کربوکسیل موسیلاز شاهی و گروه آمین پروتونه شده ایزوله پروتئین سویاست. همچنین حضور باندهای کربونیل مربوط به ویتامین D در ۱۷۴۴ و ۱۱۵۴ بر سانتی‌متر در طیف مربوط به میکروکپسول قابل مشاهده و بیانگر حضور ویتامین D است که این خود می‌تواند به عنوان دلیل دیگری بر تأیید ریزپوشانی این ترکیب با موسیلاز شاهی و ایزوله پروتئین سویا باشد. وجود یک پیک مشترک در هر چهار نمونه بررسی شده در عدد موج ۲۹۲۴ بر سانتی‌متر نشان‌دهنده همپوشانی بر اثر ارتعاش‌های کشنی گروه C-H است.

نتیجه‌گیری

در این پژوهش ویتامین D با استفاده از روش توده‌ای شدن مرکب ریزپوشانی شد. ایجاد جاذبه الکتروستاتیکی بین موسیلاز شاهی و ایزوله پروتئین سویا طی واکنش منجر به جداشدن فازهای مایع و تشکیل کمپلکس‌های نامحلول شد. در این بررسی کارایی ریزپوشانی، بارگذاری

در شکل (۴) طیف ویتامین D خالص پیک‌های مشخصی در ۱۶۳۲ و ۱۱۶۷ بر سانتی‌متر وجود دارد که به ترتیب مربوط به ارتعاش‌های کشنی کربونیل C=O و گروه C=O می‌باشند. علاوه‌بر این پیک‌های ارتعاش‌های کشنی مربوط به گروه C=H در ۲۹۳۸ و ۲۸۶۸ بر سانتی‌متر دیده می‌شوند. پیک ضعیفی در عدد موج ۷۱۸ بر سانتی‌متر نیز وجود دارد که مربوط به ارتعاش‌های ضعیف کشنی گروه CH₂ است. همچنین پیک‌های ضعیف دیگری در ۹۶۶-۸۳۵ حضور دارند که نشان‌دهنده پیوند C=H است (Kiani et al., 2017).

در طیف مربوط به ایزوله پروتئین سویا در عدد موج ۱۱۰۰ بر سانتی‌متر پیک ضعیفی وجود دارد که مربوط به ارتعاش‌های کشنی گروه‌های مختلف مانند C-H در گروه‌های آروماتیک و PO₂ یا P-OH در استرهای فسفات است که به طور مشخصی در ایزوله پروتئین سویا و سایر پروتئین‌های دارای اسید‌آمینه سرین وجود دارد. پیک‌های دیگری در عدد موج ۱۲۳۰، ۱۴۵۰، ۱۵۳۰ و ۱۶۳۰ دیده می‌شود که به ترتیب مربوط به ارتعاش‌های کشنی C-H و N-H در آمید III، ارتعاش‌های گروه C-H، ارتعاش‌های مربوط به پیوند N-H در آمید II و ارتعاش‌های کشنی C=O در آمید I است. پیک‌های شاخصی نیز در عدد موج ۳۶۰۰-۳۰۰۰ بر سانتی‌متر وجود دارد که مربوط به ارتعاش‌های گروه‌های O-H و N-H آزاد و یا پیوندی است (Schmidt, Giacomelli, & Soldi, 2005). حضور پیک ایزوله پروتئین سویا در عدد موج ۱۶۳۲ در نمونه میکروکپسول موسیلاز شاهی-ایزوله پروتئین سویا

داد میکروکپسول‌ها دارای اشکال نامنظم، سطوح ناهموار و اندازه میکرومتری هستند. داده‌های حاضر نشان داد امکان استفاده از صمغ شاهی و ایزوله پروتئین سویا به عنوان هیدروژل‌های بومی و ارزان برای انکپسولاسیون ترکیبات آب‌گریز وجود دارد.

تقدیر و تشکر

این تحقیق با حمایت مالی مرکز مطالعات و همکاری‌های علمی بین‌المللی وزارت علوم تحقیقات و فناوری انجام شد.

ریزپوشانی و میزان میکروکپسول تولیدشده در فرایند به ترتیب ۹۰، ۲۷ و ۸۸/۷۵ درصد بود. نتایج حاصل از این پژوهش نشان داد پارامترهای نسبت هسته به دیواره و نسبت بیوپلیمرها اثر معنی‌داری بر شکل‌گیری فرایند توده‌ای‌شدن دارند. همچنین بررسی تصاویر مربوط به طیف FT-IR به خوبی نمایانگر ایجاد پیوند بین گروه‌های عاملی بیوپلیمرهای دیواره و هسته بود. شکل‌گیری این پیوندها تحت تأثیر ماهیت پلی‌الکترولیت بیوپلیمرها باعث توده‌ای‌شدن می‌شود. تصاویر میکروسکوپ الکترونی نشان

منابع

- Butstraen, C., & Salaün, F. (2014). Preparation of microcapsules by complex coacervation of gum Arabic and chitosan. *Carbohydrate Polymers*, 99, 608-616. doi:<https://doi.org/10.1016/j.carbpol.2013.09.006>
- Calderón-Oliver, M., Pedroza-Islas, R., Escalona-Buendía, H. B., Pedraza-Chaverri, J., & Ponce-Alquicira, E. (2017). Comparative study of the microencapsulation by complex coacervation of nisin in combination with an avocado antioxidant extract. *Food Hydrocolloids*, 62, 49-57. doi:<https://doi.org/10.1016/j.foodhyd.2016.07.028>
- Dubin, P., Bock, J., Davis, R., Schulz, D. N., & Thies, C. (2012). *Macromolecular complexes in chemistry and biology*: Springer Science & Business Media.
- Fahami, A., & Fathi, M. (2018). Development of cress seed mucilage/PVA nanofibers as a novel carrier for vitamin A delivery. *Food Hydrocolloids*, 81, 31-38. doi:<https://doi.org/10.1016/j.foodhyd.2018.02.008>
- Fonte, P., Soares, S., Costa, A., Andrade, J. C., Seabra, V., Reis, S., & Sarmento, B. (2012). Effect of cryoprotectants on the porosity and stability of insulin-loaded PLGA nanoparticles after freeze-drying. *Biomatter*, 2(4), 329-339. doi:<https://doi.org/10.4161/biom.23246>
- Gouin, S. (2004). Microencapsulation: industrial appraisal of existing technologies and trends. *Trends in Food Science & Technology*, 15(7-8), 330-347. doi:<https://doi.org/10.1016/j.tifs.2003.10.005>
- Hogan, S. A., McNamee, B. F., O'Riordan, E. D., & O'Sullivan, M. (2001). Microencapsulating properties of sodium caseinate. *Journal of Agricultural and Food Chemistry*, 49(4), 1934-1938. doi:<https://doi.org/10.1021/jf000276q>
- Ifeduba, E. A., & Akoh, C. C. (2016). Microencapsulation of stearidonic acid soybean oil in Maillard reaction-modified complex coacervates. *Food Chemistry*, 199, 524-532. doi:<https://doi.org/10.1016/j.foodchem.2015.12.011>
- Junyaprasert, V. B., Mitrevey, A., Sinchaipanid, N., Boonme, P., & Wurster, D. E. (2001). Effect of process variables on the microencapsulation of vitamin A palmitate by gelatin-acacia coacervation. *Drug Development and Industrial Pharmacy*, 27(6), 561-566. doi:<https://doi.org/10.1081/DDC-100105181>
- Karazhiyan, H., Razavi, S. M., Phillips, G. O., Fang, Y., Al-Assaf, S., Nishinari, K., & Farhoosh, R. (2009). Rheological properties of Lepidium sativum seed extract as a function of concentration, temperature and time. *Food Hydrocolloids*, 23(8), 2062-2068. doi:<https://doi.org/10.1016/j.foodhyd.2009.03.019>
- Kavousi, H. R., Fathi, M., & Goli, S. A. (2017). Stability enhancement of fish oil by its encapsulation using a novel hydrogel of cress seed mucilage/chitosan. *International Journal of Food Properties*, 20(sup2), 1890-1900. doi:<https://doi.org/10.1080/10942912.2017.1357042>
- Kiani, A., Fathi, M., & Ghasemi, S. M. (2017). Production of novel vitamin D3 loaded lipid nanocapsules for milk fortification. *International Journal of Food Properties*, 20(11), 2466-2476. doi:<https://doi.org/10.1080/10942912.2016.1240690>

- Maji, T. K., Baruah, I., Dube, S., & Hussain, M. R. (2007). Microencapsulation of Zanthoxylum limonella oil (ZLO) in glutaraldehyde crosslinked gelatin for mosquito repellent application. *Bioresource Technology*, 98(4), 840-844. doi:<https://doi.org/10.1016/j.biortech.2006.03.005>
- Park, S. J., Garcia, C. V., Shin, G. H., & Kim, J. T. (2017). Development of nanostructured lipid carriers for the encapsulation and controlled release of vitamin D3. *Food Chemistry*, 225, 213-219. doi:<https://doi.org/10.1016/j.foodchem.2017.01.015>
- Peng, C., Zhao, S.-Q., Zhang, J., Huang, G.-Y., Chen, L.-Y., & Zhao, F.-Y. (2014). Chemical composition, antimicrobial property and microencapsulation of Mustard (*Sinapis alba*) seed essential oil by complex coacervation. *Food Chemistry*, 165, 560-568. doi:<https://doi.org/10.1016/j.foodchem.2014.05.126>
- Piacentini, E., Giorno, L., Dragosavac, M. M., Vladisavljević, G. T., & Holdich, R. G. (2013). Microencapsulation of oil droplets using cold water fish gelatine/gum arabic complex coacervation by membrane emulsification. *Food Research International*, 53(1), 362-372. doi:<https://doi.org/10.1016/j.foodres.2013.04.012>
- Reuter, J., Jocher, A., Hornstein, S., Mönting, J. S., & Schempp, C. M. (2007). Sage extract rich in phenolic diterpenes inhibits ultraviolet-induced erythema in vivo. *Planta Medica*, 73(11), 1190-1191. doi:<https://doi.org/10.1055/s-2007-981583>
- Schmidt, V., Giacomelli, C., & Soldi, V. (2005). Thermal stability of films formed by soy protein isolate-sodium dodecyl sulfate. *Polymer Degradation and Stability*, 87(1), 25-31. doi:<https://doi.org/10.1016/j.polymdegradstab.2004.07.003>
- Sutaphanit, P., & Chitprasert, P. (2014). Optimisation of microencapsulation of holy basil essential oil in gelatin by response surface methodology. *Food Chemistry*, 150, 313-320. doi:<https://doi.org/10.1016/j.foodchem.2013.10.159>
- Thies, C. (2007). Microencapsulation of flavors by complex coacervation. *Encapsulation and Controlled Release Technologies in Food Systems*, 149-170. doi:<https://doi.org/10.1002/9780470277881.ch7>
- Verkaik-Kloosterman, J., Seves, S. M., & Ocké, M. C. (2017). Vitamin D concentrations in fortified foods and dietary supplements intended for infants: Implications for vitamin D intake. *Food Chemistry*, 221, 629-635. doi:<https://doi.org/10.1016/j.foodchem.2016.11.128>
- Weinbreck, F., Tromp, R. H., & de Kruif, C. G. (2004). Composition and Structure of Whey Protein/Gum Arabic Coacervates. *Biomacromolecules*, 5(4), 1437-1445. doi:<https://doi.org/10.1021/bm049970v>

Microencapsulation of Vitamin D by Complex Coacervation Using Soy Protein Isolate and Cress Seed Mucilage

Nafiseh Jannasari¹, Milad Fathi^{2*}, Seyed Jamal Moshtaghian³, Alireza Abbaspourrad⁴

- 1- Graduated Master Student, Department of Food Science and Technology, Faculty of Agriculture, Isfahan University of Technology, Esfahan, Iran
- 2- Associate Professor, Department of Food Science and Technology, Faculty of Agriculture, Isfahan University of Technology, Esfahan, Iran
- * Corresponding author (mfathi@cc.iut.ac.ir)
- 3- Associate Professor, Department of Biology, Faculty of Science, University of Isfahan, Esfahan, Iran
- 4- Assistant Professor, Department of Food Science and Technology, Faculty of Agriculture and Life Science, Cornell University, New York, USA

Abstract

Vitamin D plays a significant role for human health, survival and fertility. Several studies have focused on preventing diseases such as heart, immune and skeletal disorders, and infectious using vitamin D. In this study, microencapsulation process of vitamin D by complex coacervation method was investigated using cress seed mucilage as an indigenous hydrocolloid and soy protein isolate, and effects of core to shell and protein to polysaccharide ratios were evaluated. The results showed that both parameters had significant effects on the encapsulation efficiency and loading capacity ($P<0.05$). Using the ratios of core to shell and protein to polysaccharide of 0.3 resulted in the production of microcapsules with the best functional properties. The microencapsulation efficiency and loading were in the range of 20-90% and 2-27%, respectively. Scanning electron microscopy indicated that microcapsules were almost non-spherical and had rough surfaces. The mean particle size was 57.2 ± 1.2 . The analysis of Fourier infrared transformation spectrometry confirmed the presence of vitamin D in the produced microcapsules and interaction of cress seed mucilage and soy protein isolate. The results of this study suggested the possibility of using cress seed mucilage and soy protein as domestic and low-cost hydrocolloids for encapsulation of hydrophobic compounds.

Keywords: Cress Seed Mucilage, Microencapsulation, Soybean Protein Isolate, Vitamin D